

INSTITUT DES PARCS NATIONAUX  
DU CONGO BELGE

INSTITUUT DER NATIONALE PARKEN  
VAN BELGISCH CONGO

# Exploration du Parc National de la Garamba

MISSION H. DE SAEGER

en collaboration avec

P. BAERT, G. DEMOULIN, I. DENISOFF, J. MARTIN, M. MICHA, A. NOIRFALISE,  
P. SCHOEMAKER, G. TROUPIN et J. VERSCHUREN (1949-1952).

FASCICULE 8

# Exploratie van het Nationaal Garamba Park

ZENDING H. DE SAEGER

met medewerking van

P. BAERT, G. DEMOULIN, I. DENISOFF, J. MARTIN, M. MICHA, A. NOIRFALISE,  
P. SCHOEMAKER, G. TROUPIN en J. VERSCHUREN (1949-1952).

AFLEVERING 8

## NÉMATODES

PARASITES D'OISEAUX

PAR

CLAIRE VUYLSTEKE (Geluwe)



BRUXELLES  
1957

BRUSSEL  
1957

PARC NATIONAL DE LA GARAMBA

MISSION H. DE SAEGER

en collaboration avec

P. BAERT, G. DEMOULIN, I. DENISOFF, J. MARTIN,  
M. MICHA, A. NOIRFALISE, P. SCHOEMAKER,  
G. TROUPIN et J. VERSCHUREN (1949-1952).

Fascicule 8

NATIONAAL GARAMBA PARK

ZENDING H. DE SAEGER

met medewerking van

P. BAERT, G. DEMOULIN, I. DENISOFF, J. MARTIN,  
M. MICHA, A. NOIRFALISE, P. SCHOEMAKER,  
G. TROUPIN en J. VERSCHUREN (1949-1952)

Aflevering 8

## NÉMATODES PARASITES D'OISEAUX

PAR

CLAIRE VUYLSTEKE (Geluwe)

L'étude de ces Nématodes m'a été confiée par M. V. VAN STRAELEN, Président de l'Institut des Parcs Nationaux du Congo Belge; je tiens ici à le remercier pour la confiance qu'il m'a témoignée.

L'identification des oiseaux a été faite par M. R. VERHEYEN, Directeur de Laboratoire à l'Institut royal des Sciences naturelles de Belgique.

Genre **SUBULURA** MOLIN, 1860.

**Subulura armata** n. sp.

(Fig. 1-6.)

Station : I/o/1 n° 56, plusieurs exemplaires.

Hôte : *Coliuspasser macroura macroura* (GMELIN) ♀.

Description. — Corps longuement atténué en arrière; striation cuticulaire transversale, très fine, au niveau de l'orifice vulvaire les stries sont distantes de 2  $\mu$ ; les ailes cervicales s'étendent jusqu'au niveau postérieur de l'œsophage, il n'y a pas d'expansion cuticulaire caudale. La bouche est entourée de deux lèvres latérales légèrement trilobées et deux groupes de trois dents « capsulaires » (fig. 3 et 4); la paroi du vestibule est chitineuse comme chez les *Allodapa*, trois petites dents œsophagiennes sont présentes.

Mâle : l'exemplaire étudié mesure 8 mm 400, son extrémité postérieure est munie d'une ventouse fusiforme, peu marquée, et située à 750  $\mu$  de

l'extrémité caudale; il y a cinq paires de papilles préanales et cinq paires postanales (fig. 1). Les spicules longs de 980  $\mu$  ont une partie membraneuse avec striation transversale, le gubernaculum, en forme de soc de charrue, mesure 120  $\mu$ .

Femelle : longue de 19 mm, a son orifice génital situé en avant du milieu du corps, les organes génitaux s'étendent d'une part jusqu'au niveau du bulbe œsophagien, d'autre part jusqu'au-delà de l'orifice anal. La queue se termine par un petit mucron.

Dimensions :

	♂	♀
Longueur .....	8.400 $\mu$	19.000 $\mu$
Largeur maximum .....	500 $\mu$	720 $\mu$
Extrémité antérieure vers c. exc. ....	420 $\mu$	420 $\mu$
Œsophage p. d. ....	700 $\mu$	800 $\mu$
Queue .....	225 $\mu$	610 $\mu$
Œuf embryonné .....		46 x 42 $\mu$

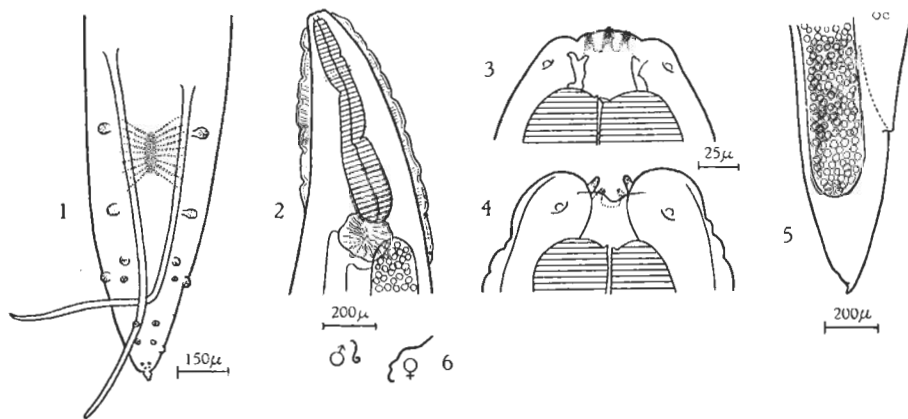


FIG. 1-6. — *Subulura armata*, n. sp.

- Fig. 1 : Extrémité postérieure mâle, vue ventrale;  
 Fig. 2 : Extrémité antérieure femelle, vue ventrale;  
 Fig. 3 : Extrémité céphalique, vue latérale;  
 Fig. 4 : Extrémité céphalique, vue ventrale;  
 Fig. 5 : Extrémité postérieure femelle, vue latérale;  
 Fig. 6 : Aspect des vers étudiés.

Remarque. — Cette espèce se différencie de celles décrites jusqu'à ce jour par la présence des dents « capsulaires » et la dimension réduite des dents œsophagiennes; je propose pour ce *Subulura* du « bird mouse » la dénomination *Subulura armata*.

Genre **ASCARIDIA** DUJARDIN, 1845.

**Ascaridia columbae** (GMELIN, 1790).

Cette espèce se rencontre trois fois dans la collection.

Station : Nagbarama n° 18, ♀ et I/b/3' n° 28, ♂.

Hôte : *Treron calva uellensis* (RCHW.) ♂.

Station : I/c/2 n° 52, ♂.

Hôte : *Treron waalia waalia* (MEYER) ♂.

**Ascaridia numidae** (LEIPER, 1908).

Station : I/o/1 n° 29, ♂ et ♀.

Hôte : *Numida meleagris major* (HARTL.) ♂.

Station : Morubia/8 n° 770, ♂ et ♀.

Hôte : Pintade.

Genre **CONTRACAECUM** RAILLIET et HENRY, 1912.

**Contraaecum rodhaini** (GEDOELST, 1916).

Station : I/o/2 n° 214.

Hôte : *Anhinga rufa rufa* (DAUDIN) ♂.

**Contraaecum micropapillatum** (STOSSICH, 1890).

Station : II/fd/17 n° 942, nombreux.

Hôte : Phalacrocoracides.

**Contraaecum microcephalum** (RUDOLPHI, 1809).

Station : II/fd/17 n° 1746.

Hôte : *Nycticorax nycticorax nycticorax* (LINNÉ).

Localisation : estomac.

Littérature :

ÉLOÏSE CRAM, 1927, Bird Parasites of the nematode suborders *Strongyla*, *Ascaridata* and *Spirurata*. (*Smithsonian Institution U. S. National Museum*, Bull. 140.)

Genre **HABRONEMA** DIESING, 1861.

**Habronema spinosa** GENDRE, 1922.

Station : PPK 60 n° 1503 (5 exemplaires).

Hôte : *Falco tinnunculus tinnunculus* (LINNÉ).

Localisation : estomac.

Littérature :

ÉLOÏSE CRAM, 1927, p. 183 (loc. cit.).

Genre **THELAZIA** Bosc, 1819.

***Thelazia depressa*** BAYLIS, 1920-1934.

(Fig. 7-12.)

Station : II/fd/4 n° 1502, ♂ et ♀.

Hôte : non identifié, par suite de conservation défectueuse.

Localisation : dans l'œil.

Remarque. — Les dimensions sont peu différentes de celles données par BAYLIS. Je note : ♂, longueur 17 mm, largeur maximum 1 mm; l'anneau nerveux se trouve à 350  $\mu$  et les papilles cervicales à 560  $\mu$  de l'extrémité

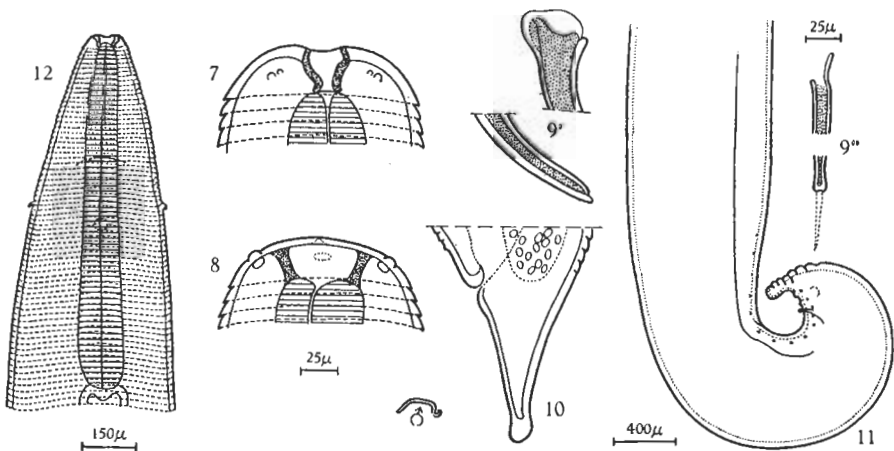


FIG. 7-12. — *Thelazia depressa* BAYLIS.

- Fig. 7 : Extrémité céphalique, vue ventrale;  
 Fig. 8 : Extrémité céphalique, vue latérale;  
 Fig. 9 : Détails des spicules (9°, petit spicule; 9°°, grand spicule);  
 Fig. 10 : Extrémité postérieure, femelle, vue latérale;  
 Fig. 11 : Extrémité postérieure, mâle, vue latérale;  
 Fig. 12 : Extrémité antérieure, vue ventrale.

antérieure; l'œsophage mesure 1 mm, la queue 220  $\mu$ , les spicules respectivement 480  $\mu$  et 2 mm 240  $\mu$ . J'ai noté dix paires de papilles préanales.

N. B. — La même espèce a été récoltée au Parc National de l'Upemba chez un *Necrosyrtes monachus fileatus* (BURCHELL). La transparence du corps, sa teinte nacréée, la dépression latérale et l'éclatement du corps femelle rendent l'identification facile.

## Littérature :

BAYLIS, H. A., 1920, Notes on some Parasitic worms from East Africa. (*Ann. and Mag. Nat. Hist.*, vol. 6, p. 283.)

YORK et MAPLESTONE, 1926, Note rectificative, p. 318.

VUYLSTEKE, CLAIRE, 1953, Nématodes parasites d'oiseaux (*Inst. Parcs Nat. Congo Belge, Explor. Parc Nat. Upemba*, fasc. 17, p. 16).

***Thelazia lissotis* n. sp.**

(Fig. 13-18.)

Station : PFNK 10/d n° 1720, ♂.

Hôte : *Lissotis melanogaster melanogaster* (RUPP.) ♂.

Localisation : conduit nasal.

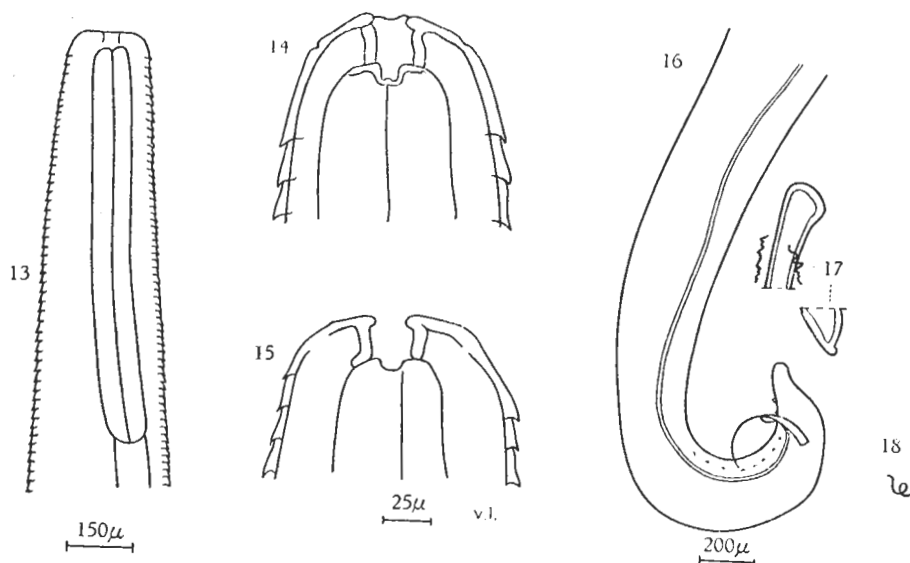


FIG. 13-18. — *Thelazia lissotis* n. sp.

- Fig. 13 : Extrémité antérieure, vue latérale;  
 Fig. 14 : Extrémité céphalique, vue ventrale;  
 Fig. 15 : Extrémité céphalique, vue latérale;  
 Fig. 16 : Extrémité postérieure mâle, vue latérale;  
 Fig. 17 : Détails du petit spicule;  
 Fig. 18 : Forme du vers étudié.

Description. — Petit ver, long de 13 mm et large au maximum de 490  $\mu$ . Extrémité antérieure droite et cylindrique, extrémité postérieure atténuée brusquement vers le milieu caudal, et courbée ventralement. La striation cuticulaire transversale, nettement imbriquée, stries distantes de

25  $\mu$  au niveau postérieur de l'œsophage. La bouche est entourée d'une formation chitinisée, la capsule buccale est haute de 25  $\mu$ , l'œsophage long de 840  $\mu$  est enserré vers son milieu par l'anneau nerveux, les papilles cervicales se trouvent à 620  $\mu$  de l'extrémité céphalique. La queue mesure 225  $\mu$ , les spicules respectivement 280  $\mu$  et 2 mm 625  $\mu$ ; il y a huit paires de papilles préanales et trois paires postanales.

Remarque. — Cette espèce se rapproche de *Thelazia campanulata* (MOLIN, 1858) telle que la transmet ÉLOÏSE CRAM, 1927, mais s'en différencie par la forme et les dimensions de la capsule buccale et de l'œsophage. Cet auteur indique 460  $\mu$  à 600  $\mu$  pour la longueur de l'œsophage; ici, pour le parasite de l'outarde, je note 840  $\mu$ . D'autre part, l'extrémité postérieure, telle que l'a figuré TRAVASSOS, donne un tracé renflé, ici il est atténué. Il reste à souligner la nature de l'hôte et sa provenance géographique : *Thelazia campanulata* a été recueilli chez un *Falco magnirostris* d'Amérique du Sud.

#### Acuariinae sp.

(Fig. 19-21.)

Station : Iso/4 n° 1739, débris ♀.

Hôte : *Lamprocolius chloropterus chloropterus* (Sw.) ♂.

Localisation : kyste dans les poumons.

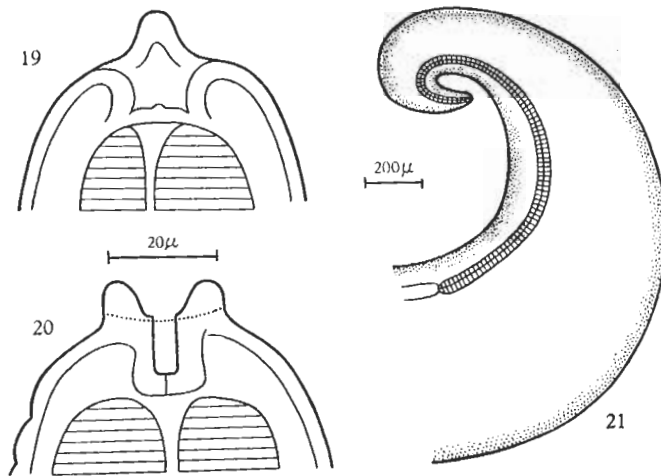


FIG. 19-21. — *Acuariinae* sp.

Fig. 19 : Extrémité céphalique, vue latérale;

Fig. 20 : Extrémité céphalique, vue ventrale;

Fig. 21 : Extrémité antérieure.

Description. — Long environ de 40 mm, ce parasite se trouvait dans un petit kyste aplati. La bouche est entourée de deux lèvres chitineuses, l'œsophage très étroit, 50  $\mu$  environ, est long de 1 mm 470  $\mu$ .

Remarque. — Par suite de manipulations défectueuses, seule l'étude de l'extrémité antérieure a été possible. Peut-être l'apport des figures et les quelques caractères décrits serviront-ils à une identification ultérieure. Deux extrémités femelles possédant les mêmes caractères ont été récoltées sous l'étiquette suivante :

Station : I/b/1 n° 30.

Hôte : *Merops nubicus* (GMELIN) ♂.

Localisation : non mentionnée.

Genre **HAMATOSPICULUM** SKRJABIN, 1916.

(Fig. 22-28.)

**Hamatospiculum africanum** n. sp.

Station : I/o/1 n° 57, ♂ et ♀.

Hôte : *Bubo africanus cinerascens* (GUER) ♂.

Localisation : non indiquée.

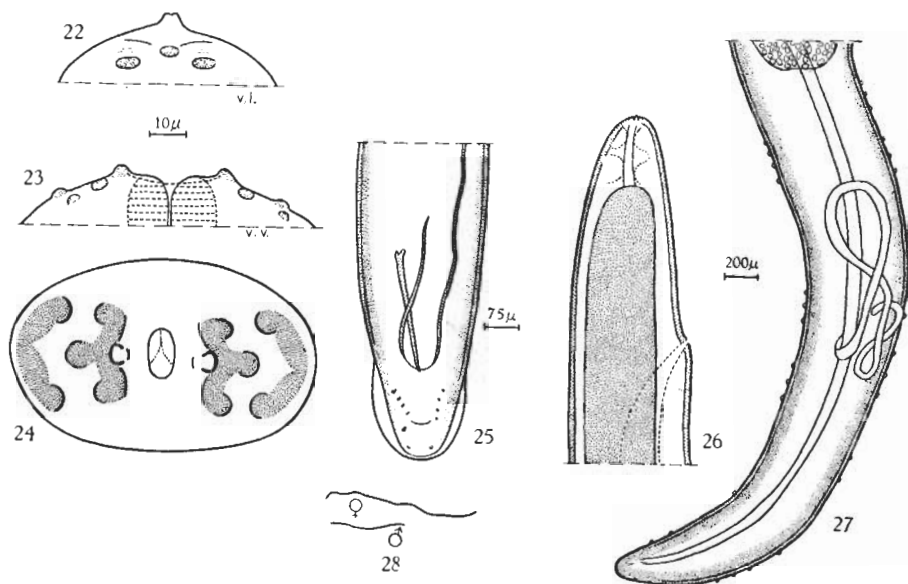


FIG. 22-28. — *Hamatospiculum africanum* n. sp.

Fig. 22 : Extrémité céphalique, vue latérale;

Fig. 23 : Extrémité céphalique, vue ventrale;

Fig. 24 : Extrémité céphalique, vue apicale;

Fig. 25 : Extrémité postérieure; mâle, vue ventrale;

Fig. 26 : Extrémité antérieure, femelle, vue latérale;

Fig. 27 : Extrémité postérieure, femelle, vue latérale;

Fig. 28 : Aspect du vers.

Description :

♂ : longueur 24 mm, largeur maximum 510  $\mu$ ;

♀ : longueur 45 mm, largeur maximum 700  $\mu$ .



La cuticule est striée transversalement, avec espacement de 5  $\mu$  au niveau de l'extrémité proximale du grand spicule; de plus on observe de petites bosses cuticulaires sur tout le corps sauf vers l'extrémité antérieure. L'extrémité céphalique est de forme conique en vue latérale et tronquée en vue dorso-ventrale, la bouche ovale est placée entre deux dents latérales, suivies chacune d'une plaque chitinisée de forme trilobée, et deux papilles sublatérales. L'œsophage musculaire, long de 225  $\mu$ , est enserré vers son milieu par l'anneau nerveux, la partie glandulaire, très large et de teinte foncée, mesure 8 mm 190  $\mu$ .

Mâle : les petites ailes caudales s'étendent sur une longueur de 240  $\mu$ , l'orifice cloacal se trouve à 80  $\mu$  de l'extrémité postérieure, il y a quatre paires de papilles pédonculées préanales et une paire postanale; le spicule droit mesure 315  $\mu$ , sa pointe est légèrement incurvée, le gauche, long de 2 mm 475  $\mu$ , à son extrémité distale, progressivement atténuée en pointe mousse, il y a une petite pièce accessoire d'une longueur de 80  $\mu$ .

Femelle : l'orifice génital se trouve à 1 mm 360  $\mu$ , le vagin mesure 2 mm, l'œuf embryonné atteint 49  $\times$  28  $\mu$ .

Remarque. — Par l'ensemble de ses caractères, cette filaire se classe dans la sous-famille *Dicheilonematinae* créée par WEHR, 1935, mais la présence de petites bosses cuticulaires est à souligner. Il reste une affinité très marquée pour le genre *Hamatospiculum* SKRJABIN, 1916, comme d'ailleurs pour les espèces étudiées par JOHNSTON et MAWSON, 1941-1947.

Espèces décrites jusqu'à ce jour :

Type : *H. brasilianum* (STOSSICH, 1897) ex PIC.

*H. pertenuialatum* SANDGROUND, 1933, ex *Lanius cristatus cristatus*; Annam.

*H. otomelarum* TUBANGUI, 1934, ex *Otomela lucionensis*; îles Philippines.

*H. leticiae* TUBANGUI, 1934, ex *Halcyon chloris*; îles Philippines.

*H. dicruri* TUBANGUI, 1934, ex *Dicruris balicassu*; îles Philippines.

*H. accipitris* YAMAGUTI, 1941, ex *Accipiter nisus*; Japon.

*H. chibiae* JOHNSTON et MAWSON, 1941, ex *Chibiae bracteata*; Australie.

*H. halcyonis* JOHNSTON et MAWSON, 1941, ex *Halcyon pyrrhopygius*; Australie.

*H. howense* JOHNSTON et MAWSON, 1941, ex *Halcyon vagans*; Australie.

*H. macneilli* JOHNSTON et MAWSON, 1941, ex *Ninox boo-book*; Australie.

Littérature :

SKRJABIN, 1936, Ordre des *Filariata*. (*Ann. de Parasitologie*, t. 14.)

YORK et MAPLESTONE, 1926 (loc. cit.).

E. WEHR, 1935, A revised classification of the nematode superfamily *Filarioidea*. (*Proc. Helminth. Soc. of Washington*.)

T. H. JOHNSTON et MAWSON, 1941-1947, Some parasitic nematodes in the collection of the Australian Museum. (*Records of the Australian Museum*, vol. 21, Sydney.)

YAMAGUTI, 1941. (*Japan J. Zool.*, IX, p. 474.)

SANDGROUND, 1933 (*Zeitschrift für Parasitenkunde*, V, p. 549.)

TUBANGUI, 1934. (*Philippine Journ. Sc.*, LV, pp. 119-121.)

**Squamofilaria coronata** (RUDOLPHI, 1809).

(Fig. 29-35.)

Station : I/o/1 n° 51, ♂ et ♀.

Hôte : *Coracias abyssinica* (HERN.) ♀.

Localisation : non mentionnée.

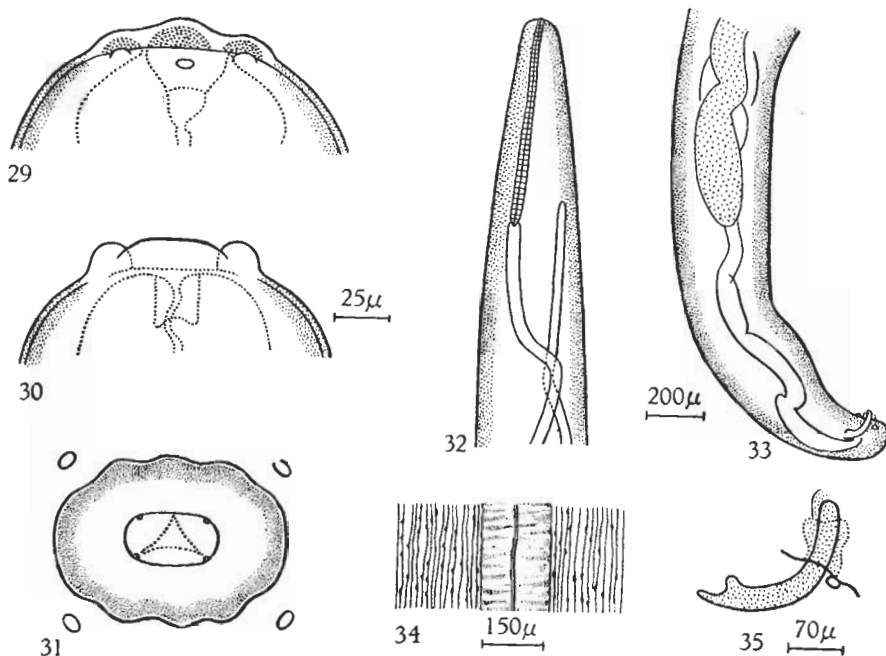


FIG. 29-35. — *Squamofilaria coronata* (RUD.).

Fig. 29 et 30 : Extrémité céphalique;

Fig. 31 : Extrémité céphalique, vue apicale;

Fig. 32 : Extrémité antérieure, mâle;

Fig. 33 : Extrémité postérieure, mâle;

Fig. 34 : Détail de la cuticule (paroi latérale);

Fig. 35 : Spicule.

Remarque. — L'espèce type décrite par RUDOLPHI, provenait du *Coracias garrula* (rollier d'Europe émigrant en Afrique). A. VON SCHMERLING, en 1925, étudie l'espèce et crée le genre. C'est d'après la description qu'en

fait cet auteur que j'établis mon identification. Toutefois, je crois utile d'en donner quelques figures, ainsi que les dimensions :

	♂	♀
Longueur .....	12.200 $\mu$	20 000 $\mu$
Largeur maximum .....	600 $\mu$	760 $\mu$
Œsophage .....	750 $\mu$	840 $\mu$
Queue .....	070 $\mu$	070 $\mu$
Spicules .....	240 $\mu$	
Extrémité antérieure vers l'orifice génital ...		1.500 $\mu$

N. B. — L'intérieur du corps est granuleux. La paroi latérale du corps présente une striation spéciale (voir fig. 34). Les squames sont de forme ovulaire. Il existe une très fine striation cuticulaire transversale.

Littérature :

SCHMERLING, A. A., 1925, Zür kenntnis der vogelfilarien (*Squamofilaria* n. g. und *Diplotriana artemisiana* n. sp. von *Coracias garrula* L.). (*Centralbl. f. Bakt.*, Abt. II, vol. 63, p. 267.)

SKRJABIN, 1936, *Tetracheilonematinae* n. f. Ordre des *Filariata*. (*Ann. de Parasitologie*, t. 14.)

Genre **SERRATOSPICULUM** SKRJABIN, 1916.

**Serratospiculum congolensis** n. sp.

(Fig. 35-40.)

Station : PFSK 4 n° 1719, ♂ et ♀.

Hôte : *Butastur rufipennis* (SUND) ♂.

Localisation : abdomen.

♂ : longueur 42 mm, largeur maximum 420  $\mu$ ;

♀ : longueur 115 mm, largeur maximum 620  $\mu$ .

Striation cuticulaire très fine; au-delà de l'orifice génital femelle, la striation est distante de 2  $\mu$  5. En vue apicale, la bouche se montre entourée de petites plaques asymétriques; on observe deux paires de papilles submédianes sur un rang interne, et sur le plan externe une paire latérale et quatre paires sublatérales. Les papilles cervicales se trouvent placées à hauteurs différentes — 200  $\mu$  et 240  $\mu$  — de l'extrémité antérieure. Chez l'exemplaire mâle, l'œsophage musculaire mesure 240  $\mu$ , l'anneau nerveux l'enserme à sa base; l'œsophage glandulaire, long de 6 mm, est large et de teinte foncée.

Mâle : l'extrémité postérieure se courbe ventralement et est pourvue d'une petite aile caudale, s'étendant sur une longueur de 170  $\mu$ ; les papilles caudales sont difficiles à bien observer; je compte trois paires de papilles

pédonculées préanales et quatre paires postanales, dont deux terminales. Le spicule droit mesure 325  $\mu$ , son liers antérieur distal est pourvu de dents de scie; le spicule gauche, long de 715  $\mu$ , présente une large aile striée; l'orifice cloacal se trouve à 80  $\mu$  de l'extrémité postérieure.

Femelle : l'orifice génital se trouve à 800  $\mu$  de l'extrémité antérieure. Les œufs embryonnés mesurent 33  $\times$  52  $\mu$ .

Remarque. — Cette espèce semble se différencier de celles décrites jusqu'à ce jour par l'aspect apical et la nature de l'hôte, bien qu'elle ait des affinités avec l'espèce *Filaria attenuata* (RUD., 1819) telle que la décrit SEURAT, 1915, pour un parasite du *Falco biarmicus erlangeri*, récolté à Biskra.

Littérature :

SEURAT, 1915, Nématodes parasites. Expédition de MM. WALTER ROTH-SCHILD, E. HARTET et C. HILGERT dans le Sud algérien (mars et mai 1914). (*Novitates Zoologicae*, vol. 22, p. 1.)

E. E. WEHR, 1938, New genera and species of nematode, superfamily « *Filarioidea* », *Serratospiculum*. (*Proc. of the Helm. Soc. of Washington*, vol. 5, July, n° 2.)

Genre **DIPLOTRIAENA** RAILLIET et HENRY, 1909.

**Diplotriaena** sp.

I. — Station : II/gd/4 n° 1444, débris ♀.

Hôte : *Circus macrourus* (GMELIN) ♂.

Localisation : œil.

II. — Station : II/id/8 n° 1439, 2 ♀♀.

Hôte : *Campephaga phoenicea phoenicea* (LATH.) ♂.

Localisation : intestin.

III. — Station : II/gd/4 n° 769, ♀.

Hôte : *Coliuspasser ardens concolor* (CASSIN).

Localisation : non mentionnée.

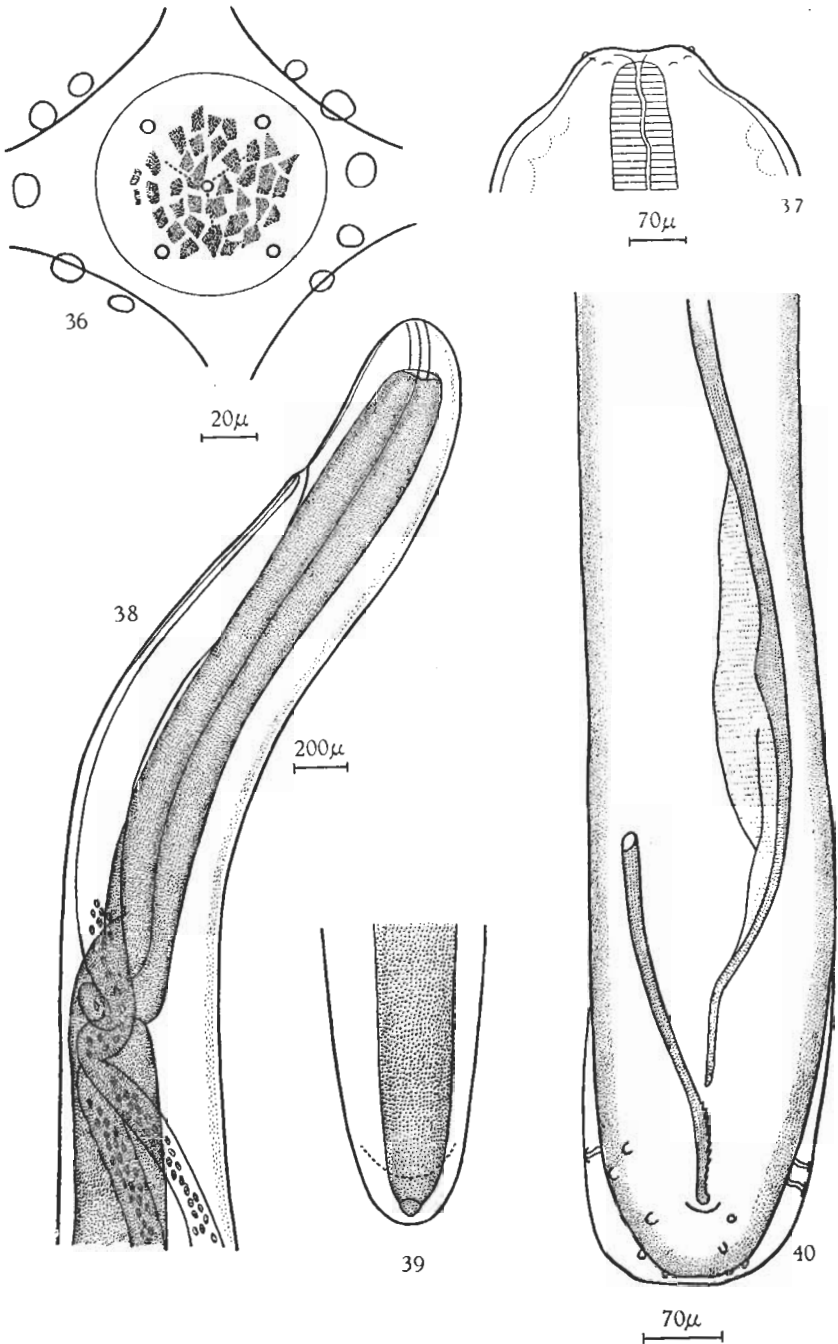


FIG. 36-40. — *Serratospiculum congolensis* n. sp.

Genre **PELECITUS** RAILLIET et HENRY, 1910.

***Pelecitus anhingae*** n. sp.

(Fig. 41-48.)

Station : II/fd/17 n° 1541, plusieurs exemplaires.

Hôte : *Anhinga rufa rufa* (DAUDIN).

Localisation : estomac.

Description. — Petite filaire, à striation cuticulaire très fine (distante de  $2 \mu$  5 au niveau postérieur de l'œsophage); les parois latérales du

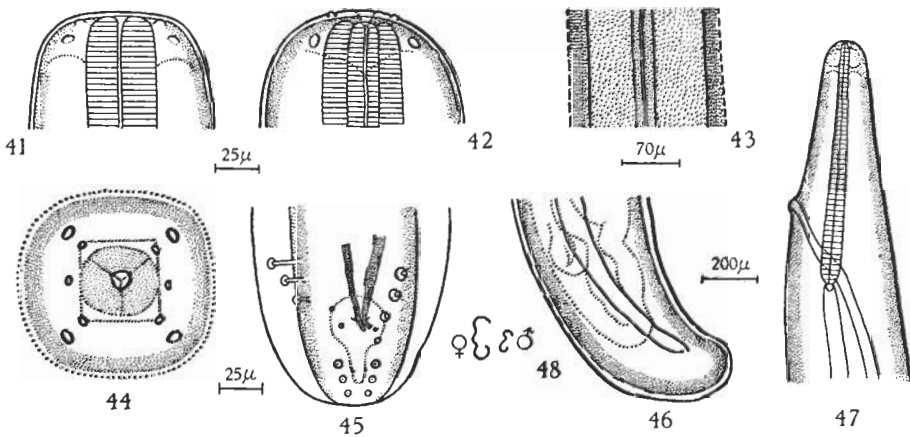


FIG. 41-48. — *Pelecitus anhingae* n. sp.

- Fig. 41 : Extrémité céphalique, vue ventrale;  
 Fig. 42 : Extrémité céphalique, vue latérale;  
 Fig. 43 : Détail de la cuticule, vue champ latéral;  
 Fig. 44 : Extrémité céphalique, vue apicale;  
 Fig. 45 : Extrémité postérieure, mâle, vue ventrale;  
 Fig. 46 : Extrémité postérieure, femelle, vue latérale;  
 Fig. 47 : Extrémité antérieure, femelle, vue latérale;  
 Fig. 48 : Aspect du corps, des parasites étudiés.

corps sont marquées par une striation longitudinale entrecoupée de stries obliques (fig. 43). L'extrémité céphalique présente quatre paires de papilles submédianes, celles du rang interne plus petites que celles du rang externe.

EXPLICATION DES FIGURES 36-40.

- Fig. 36 : Extrémité céphalique, vue apicale;  
 Fig. 37 : Extrémité antérieure, vue ventrale;  
 Fig. 38 : Extrémité antérieure, vue latérale;  
 Fig. 39 : Extrémité postérieure, femelle;  
 Fig. 40 : Extrémité postérieure, mâle, vue ventrale.

L'orifice buccal est arrondi, l'œsophage étroit et cylindrique, il est resserré vers son sixième antérieur par l'anneau nerveux, il mesure 770  $\mu$  chez le mâle et 950  $\mu$  chez la femelle.

Mâle : long de 7 mm 300  $\mu$ , sur une largeur maximum de 300  $\mu$ , son extrémité caudale est largement arrondie, avec expansion cuticulaire bien marquée (fig. 45). L'orifice cloacal se trouve à 45  $\mu$  de l'extrémité postérieure; il y a trois paires de papilles pédonculées préanales et trois paires de papilles postanales. Les spicules mesurent respectivement 51  $\mu$  et 60  $\mu$ , le petit est étroit, son extrémité distale est légèrement courbée et munie d'une membrane, le grand est plus robuste.

Femelle : longue de 20 mm et large de 560  $\mu$ , a son orifice génital situé au niveau du tiers postérieur de l'œsophage; le vagin se dirige vers l'arrière, il mesure 1 mm. L'extrémité postérieure du ver est recourbée et s'atténue assez brusquement (fig. 46).

Remarque. — Cette espèce répond bien aux caractères du genre, tels que les définissent YORK et MAPLESTONE, 1926; toutefois, il faut souligner la striation cuticulaire transversale très fine, l'absence d'ailes latérales sur toute la longueur du corps et la localisation dans l'hôte. Les espèces décrites jusqu'à ce jour l'ont été d'une façon brève, sauf *P. Clava* (WELL, 1856) redécrite par FOUNIKOFF, 1934. L'espèce provenant de l'*Anhinga rufa rufa* s'en différencie par la position et la forme des papilles caudales  $\sigma$ .

#### Littérature :

RAILLIET et HENRY, 1910, Les Onchocerques nématodes parasites du tissu conjonctif. (*C. R. Soc. Biol.*, vol. 68, p. 251.)

FOUNIKOFF, S., 1934, Situation de *Filaria clava* WEDL, 1855, des pigeons dans la classification des Nématodes. (*Ann. de Parasitologie*, t. XII, n° 1.)

#### ***Pelecitus polamaetus* n. sp.**

Station : II/fd/17 n° 1433, 3  $\sigma\sigma$  et 2  $\text{♀}\text{♀}$ .

Hôte : *Polamaetus bellicosus* (DAUDIN).

Cette espèce est très proche de la précédente. La striation cuticulaire transversale est distante de 6  $\mu$  au niveau de l'orifice génital femelle; les embryons présents dans le vagin sont très nombreux, ils mesurent 260  $\mu$  pour une largeur de 7  $\mu$  5, l'extrémité antérieure est largement arrondie, la postérieure très effilée. Cette espèce se différencie de la précédente par la dimension des spicules (voir tableau p. 17).

***Pelecitus ardeae*** n. sp.

Station : II/fc/15 n° 1304, ♂ et ♀.

Hôte : *Ardea goliath* CRETZSCH. (héron).

Localisation : talon.

La striation cuticulaire est à peine perceptible. L'œsophage est plus étroit que dans les espèces précédentes. Le spicule gauche présente deux parties distinctes. Les embryons, à peine éclos et encore courbés, mesurent 155 µ. Le vagin atteint une longueur de 3 mm 200 µ.

	<i>P. anhinga</i>		<i>P. polamaetus</i>		<i>P. ardeae</i>	
	♂	♀	♂	♀	♂	♀
	µ	µ	µ	µ	µ	µ
Longueur ... ..	7.300	20.000	8.200	16.000	9.000	28.000
Largeur maximum ... ..	300	560	420	700	430	910
Extrémité antérieure vers :						
anneau nerveux ... ..	140	170	—	200	—	160
orifice génital .. ...	—	630	—	525	—	700
Œsophage ... ..	770	950	970	—	980	1.600
Queue ... ..	45	—	48	—	56	—
Spicules . ... ..	51-60	—	86-115	—	75-105	—
Microfilaires . ... ..	—	—	—	(*) 250	—	(**) 170

(\*) Microfilaire toute détendue, placée près de l'orifice génital.

(\*\*) Microfilaire repliée en anneau, placée à quelque distance de l'orifice génital.

Genre **APROCTA** LINSTOW, 1883.***Aprocta ophthalmophaga*** (STOSSICH, 1902).

Station : II/gd/4 n° 1519, 2 ♂♂, débris ♀.

Hôte : *Butastur rufipennis* (SUND) ♂.

Localisation : près des yeux.

***Aprocta orbitalis*** (LINSTOW, 1901).

Station : II/fc/18 n° 1438, ♂ et ♀.

Hôte : *Circus aeruginosus aeruginosus* (LINNÉ) ♂.

Localisation : dans l'intestin.



**Aprocta** sp.

Station : PFNK10/d n° 1720, 3 ♀ ♀.

Hôte : *Lissotis melanogaster melanogaster* (RUPP.) ♂.

Localisation : conduit nasal.

**Aprocta** sp.

Station : PPK 60 n° 1445, 2 ♀ ♀.

Hôte : *Neotis cafra denhami* (CHILDREN) ♂.

Localisation : œil.

Littérature :

SKRJABIN, 1934. (*Ann. de Parasitologie*, t. XII, n° 5, pp. 362-366.)

## LISTE DES ESPÈCES ÉTUDIÉES.

**Oxyuroidea.**

*Subulura armatus* n. sp.

**Ascaroidea.**

*Ascaridia columbae* GMELIN.

*Ascaridia numidae* LEIPER.

*Contraecum rodhaini* GEDOELST.

*Contraecum micropapillatum* STOSSICH.

*Contraecum microcephalum* RUDOLPHI.

**Spiruroidea.**

*Acuariinae* (non déterminé).

*Habronema spinosa* GENDRE.

*Thelazia depressa* BAYLIS.

*Thelazia lissotis* n. sp.

**Filarioidea.**

*Aprocta*.

*Hamatospiculum africanum* n. sp.

*Pelecitus anhingae* n. sp.

*Pelecitus ardeae* n. sp.

*Pelecitus polamaetus* n. sp.

*Serratospiculum congolensis* n. sp.

*Squamofilaria coronata* RUD.

## LISTE DES HÔTES

	Pages.		Pages.
<i>Accipiter nisus</i> ... ..	10	<i>Halcyon pyrrhopygius</i> .. ...	10
<i>Anhinga rufa rufa</i> (DAUDIN) ... ..	5, 15	<i>Halcyon vagans</i> ... ..	10
<i>Ardea goliath</i> CRETZSCH. ... ..	17	<i>Lamprocolius chloropterus chloropterus</i> (SW.) ... ..	8
<i>Bubo africanus cinerascens</i> (GUER.) ..	9	<i>Lanius cristatus cristatus</i> ... ..	10
<i>Butastur rufipennis</i> (SUND). ... ..	12, 17	<i>Lissotis melanogaster melanogaster</i> (RUPP.) ... ..	7, 18
<i>Campephaga phoenicea phoenicea</i> (LATH.) ... ..	13	<i>Merops nubicus</i> (GMELIN) .. ...	9
<i>Chibiae bracteata</i> .. ...	10	<i>Necrosyrtes monachus fileatus</i> (BUR- CHELL). ... ..	6
<i>Circus aeruginosus aeruginosus</i> (LINNÉ) ... ..	17	<i>Neotis cafra denhami</i> (CHILDREN) ...	18
<i>Circus macrourus</i> (GMELIN) ... ..	13	<i>Ninox boo-book</i> ... ..	10
<i>Coliuspasser ardens concolor</i> (CASSIN)	13	<i>Numida meleagris major</i> (HARTL.) ...	5
<i>Coliuspasser macroura macroura</i> (GMELIN) ... ..	3	<i>Nycticorax nycticorax nycticorax</i> (LINNÉ) ... ..	5
<i>Coracias abyssinica</i> (HERN.) ... ..	11	<i>Otomela lucionensis</i> ... ..	10
<i>Coracias garrula</i> (L.) ... ..	11	<i>Polamactus bellicosus</i> (DAUDIN). ...	16
<i>Dicruris balicassu</i> . ... ..	10	<i>Treron calva uellensis</i> (RCHW.) .. ...	5
<i>Falco biarmicus erlangeri</i> ... ..	13	<i>Treron waalia waalia</i> (MEYER) .. ...	5
<i>Falco magnirostris</i> ... ..	8		
<i>Falco tinnunculus tinnunculus</i> (LINNÉ) ... ..	5		
<i>Halcyon chloris</i> ... ..	10		

## INDEX ALPHABÉTIQUE

## GENRES.

	Pages.		Pages.
<i>Aprocta</i> LINSTOW .. ... ..	17	<i>Pelecitus</i> RAILLIET et HENRY .. ...	15
<i>Ascaridia</i> DUJARDIN ... ..	5	<i>Serratospiculum</i> SKRJABIN .. ...	12
<i>Contraecum</i> RAILLIET et HENRY ..	5	<i>Squamofilaria</i> . ... ..	11
<i>Diplotriaena</i> RAILLIET et HENRY ...	13	<i>Subularia</i> MOLIN .. ... ..	3
<i>Habronema</i> DIESING ... ..	5	<i>Thelazia</i> BOSC ... ..	6
<i>Hamatospiculum</i> SKRJABIN . ... ..	9		

## ESPÈCES.

	Pages.		Pages.
<i>accipitris</i> YAMAGUTI ( <i>Hamatospiculum</i> ) ... ..	10	<i>lissotis</i> nov. ( <i>Thelazia</i> ) ... ..	7
<i>africanum</i> nov. ( <i>Hamatospiculum</i> ) ..	9	<i>macneilli</i> JOHNSTON et MAWSON ( <i>Hamatospiculum</i> ) ... ..	10
<i>anhingae</i> nov. ( <i>Pelecitus</i> ) .. ...	15	<i>microcephalum</i> (RUDOLPHI) ( <i>Contraecum</i> ) ... ..	5
<i>ardeae</i> nov. ( <i>Pelecitus</i> ) ... ..	17	<i>micropapillatum</i> (STOSSICH) ( <i>Contraecum</i> ) ... ..	5
<i>armata</i> nov. ( <i>Subularia</i> ) ... ..	3	<i>numidae</i> (LEIPER) ( <i>Ascaridia</i> ) .. ...	5
<i>brasilianum</i> (STOSSICH) ( <i>Hamatospiculum</i> ) ... ..	10	<i>ophthalmophaga</i> (STOSSICH) ( <i>Aprocta</i> )	17
<i>chibiae</i> JOHNSTON et MAWSON ( <i>Hamatospiculum</i> ) ... ..	10	<i>orbitalis</i> (LINSTOW) ( <i>Aprocta</i> ) ... ..	17
<i>columbae</i> (GMELIN) ( <i>Ascaridia</i> ) . ...	5	<i>otomelarum</i> TUBANGUI ( <i>Hamatospiculum</i> ) ... ..	10
<i>congolensis</i> nov. ( <i>Serratospiculum</i> ) ..	12	<i>pertenuilatum</i> SANDGROUND ( <i>Hamatospiculum</i> ) ... ..	10
<i>coronata</i> (RUDOLPHI) ( <i>Squamofilaria</i> )	11	<i>polamaectus</i> nov. ( <i>Pelecitus</i> ) ... ..	16
<i>depressa</i> BAYLIS ( <i>Thelazia</i> ) ... ..	6	<i>rodhaini</i> (GEDOELST) ( <i>Contraecum</i> )	5
<i>dicururi</i> TUBANGUI ( <i>Hamatospiculum</i> )	10	<i>spinosa</i> GENDRE ( <i>Habronema</i> ) .. ...	5
<i>halcyonis</i> JOHNSTON et MAWSON ( <i>Hamatospiculum</i> ) ... ..	10		
<i>howense</i> JOHNSTON et MAWSON ( <i>Hamatospiculum</i> ) ... ..	10		
<i>leticiae</i> TUBANGUI ( <i>Hamatospiculum</i> )	10		